

Auf einen Blick





Currenta Analytik

Zahlen, Daten & Fakten

- Ca. 500 Mitarbeiterinnen & Mitarbeiter
- Standorte in:
 - Leverkusen
 - Dormagen
 - Krefeld-Uerdingen
- Über 10.000 m² Laborfläche
- Umfangreicher Pool von Analysegeräten
- 600 aktive Kunden in Deutschland, Europa und weltweit
- Ca. 1 Mio. Analytik-Aufträge pro Jahr
- DAKKS -Akkreditierung





Currenta Analytik

Kompetenzfelder

- Chromatographie
- Massenspektrometrie
- Chemische Kennzahlen
- Elementanalytik
- Spektroskopie
- Thermoanalytische Verfahren
- Strukturaufklärung
- Oberflächen- und Festkörperanalytik
- Polymeranalytik
- Brandtechnologie
- Pharmaanalytik (GMP und GLP)
- Ökotoxikologie

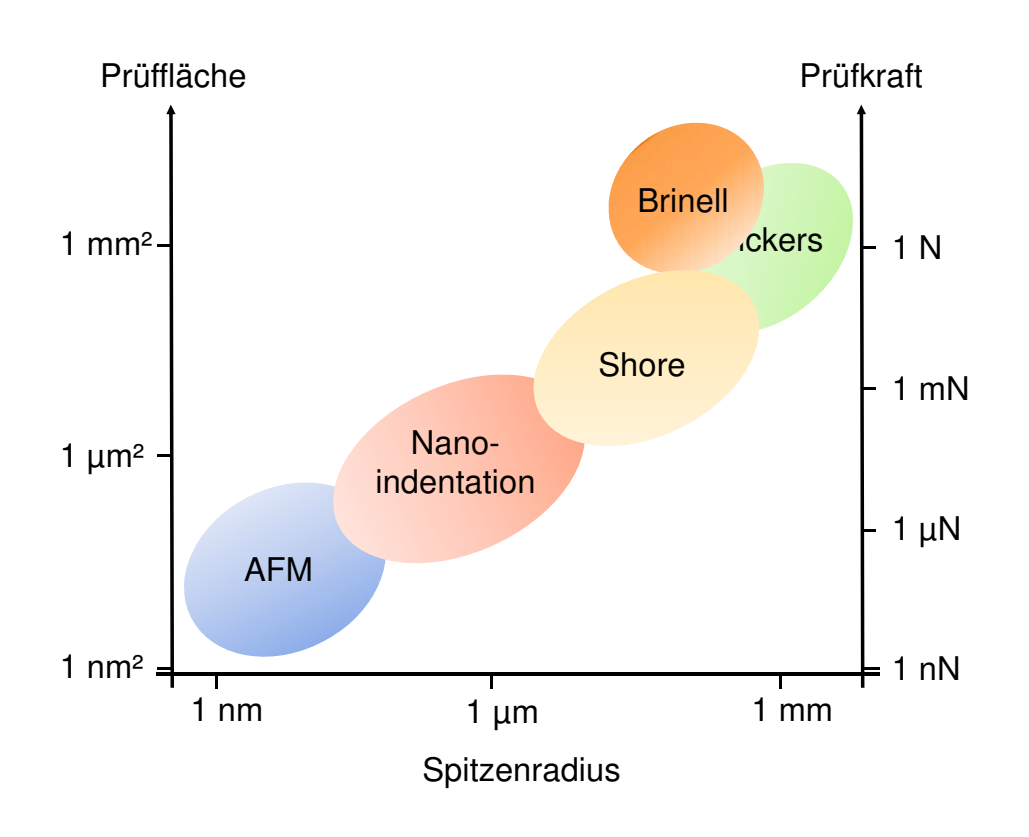




Werkstoffprüfung auf mikroskopischer Skala

Nanoindentation und Rasterkraftmikroskopie

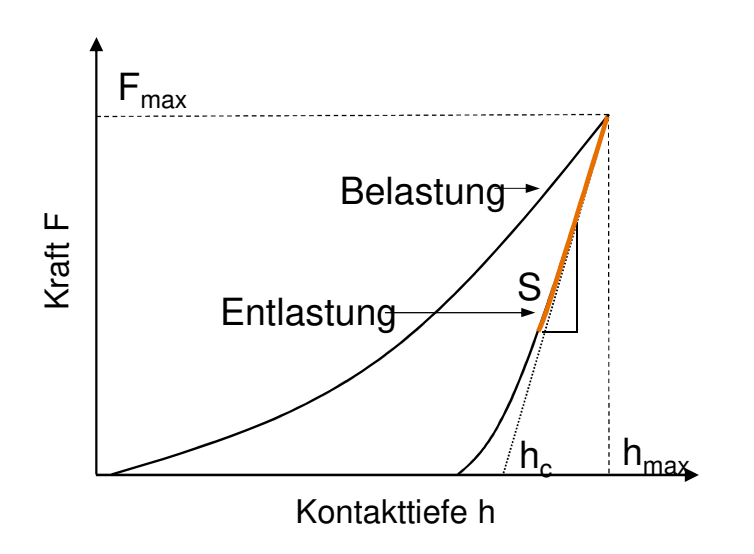
- Traditionelle Härteprüfverfahren
 - Shore-, Vickers- oder Brinellhärte
 - Seit langer Zeit fest etabliert
 - Liefern aufgrund der Prüfdimensionen nur flächendeckende Materialinformationen
- Materialeigenschaften
 - Basieren jedoch auf Wechselwirkungen, die auf mikroskopischer Ebene stattfinden
- Nanoindentation und Rasterkraftmikroskopie
 - Messverfahren mit sehr geringer Lastaufbringung
 - Erlauben die Bestimmung hochaufgelöster lokaler Materialeigenschaften

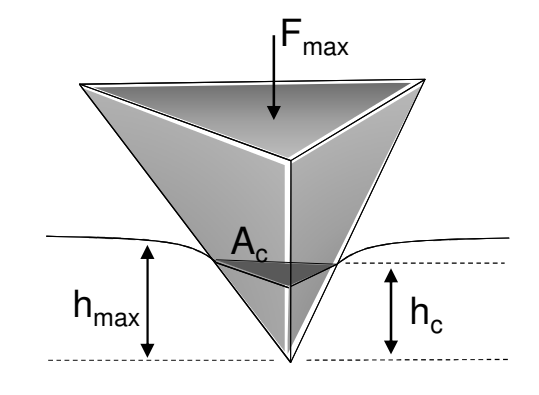




Nanoindentation - Härteprüfung

Quasi-Statische Nanoindentation (DIN EN ISO 14577)





Kontaktsteifigkeit
$$S = \frac{dF}{dh_c}$$

Kontaktfläche
$$A_c = f(h_c)$$

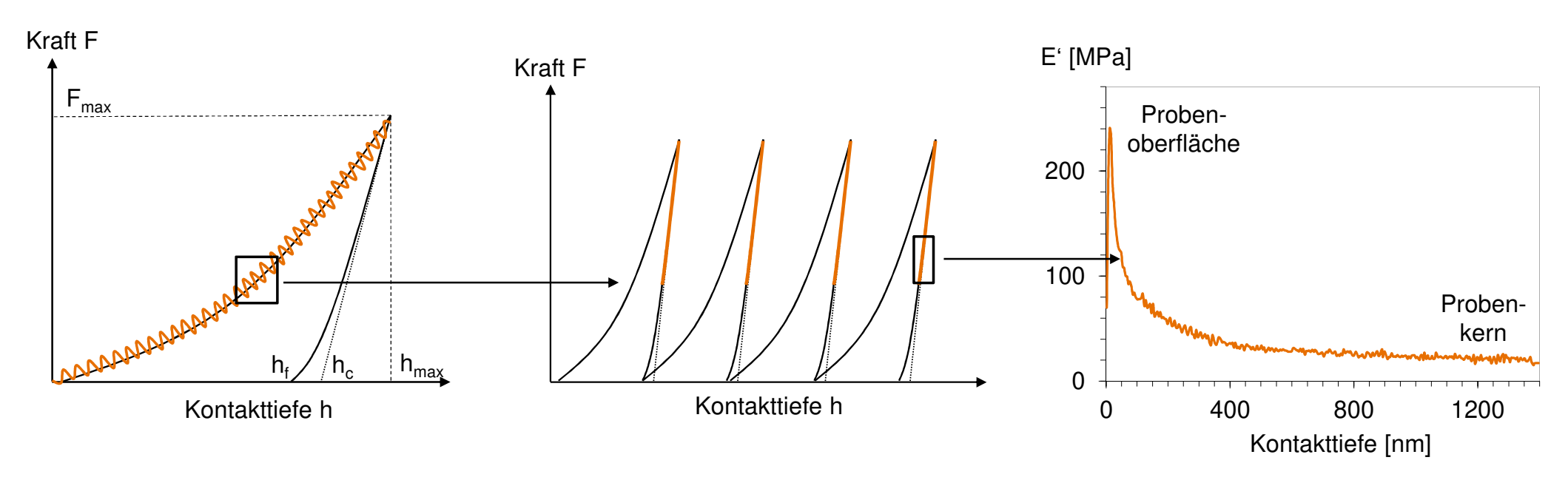
Reduzierter Modul E* =
$$\frac{\sqrt{\pi}}{2\beta} = \frac{S}{\sqrt{A_0}}$$

Elastizitätsmodul
$$E' = E^* (1 - v^2)$$



Dynamische Nanoindentation

Nanoindentation im Tiefenprofil



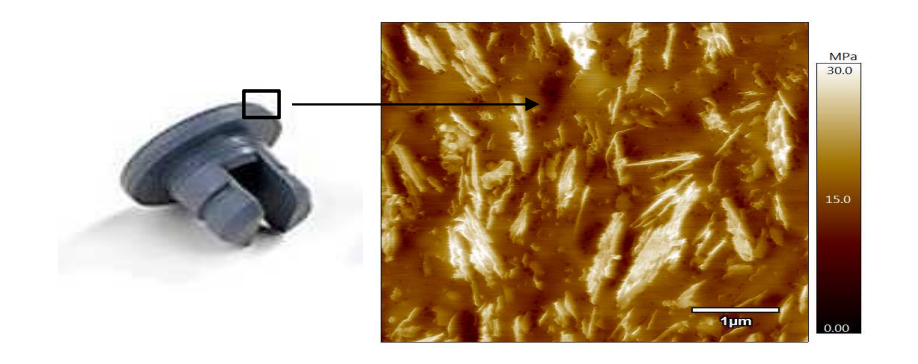
Dynamische Nanoindentation

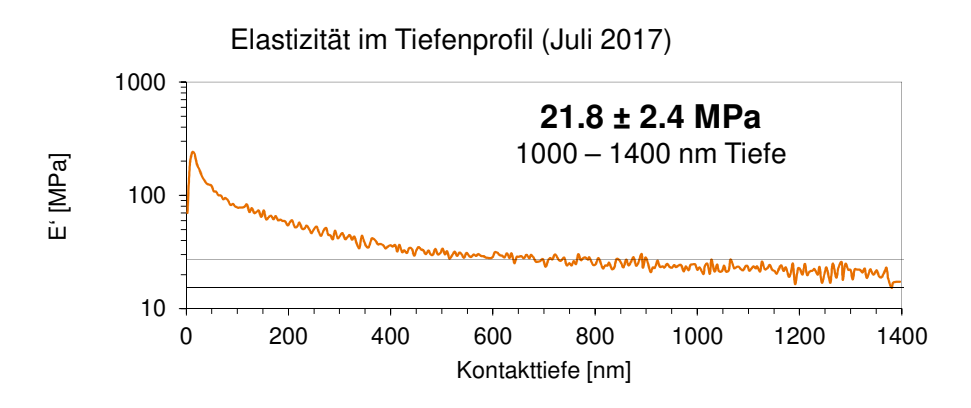
Bestimmung der mechanischen Eigenschaften als Funktion der Kontakttiefe

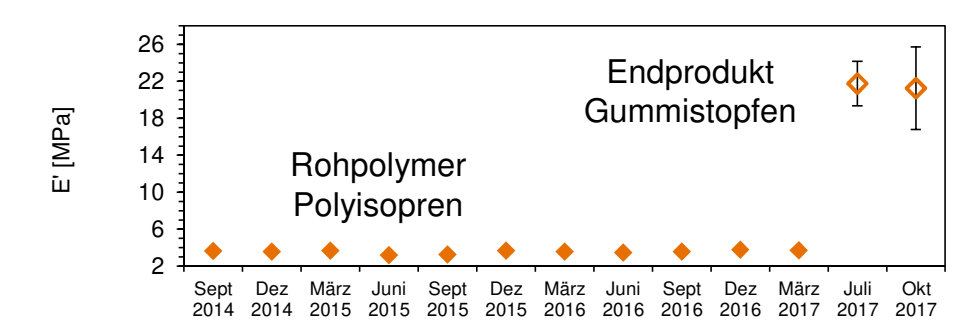
Elastizität im Tiefenprofil



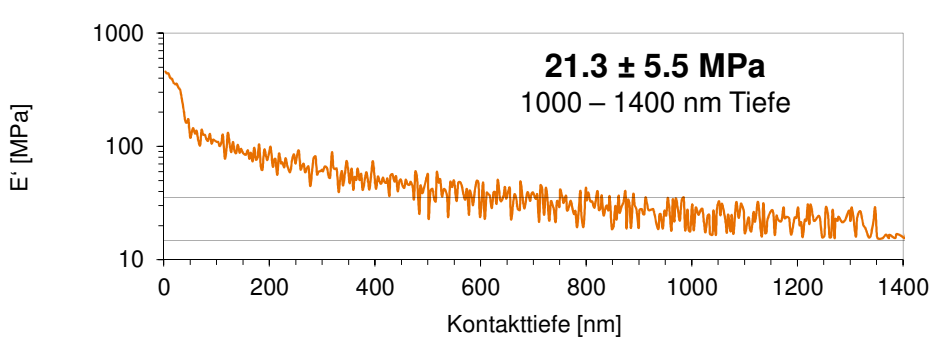
Werkstoffprüfung von Gummistopfen







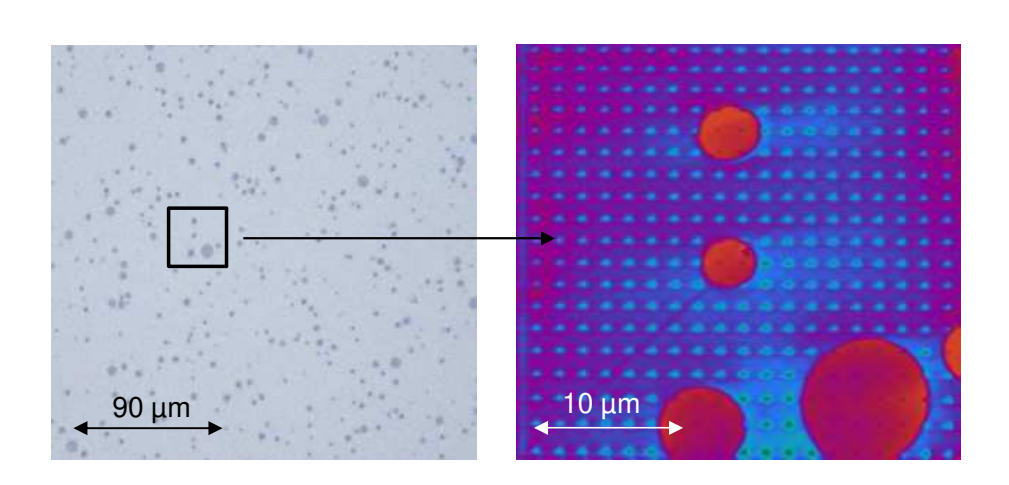


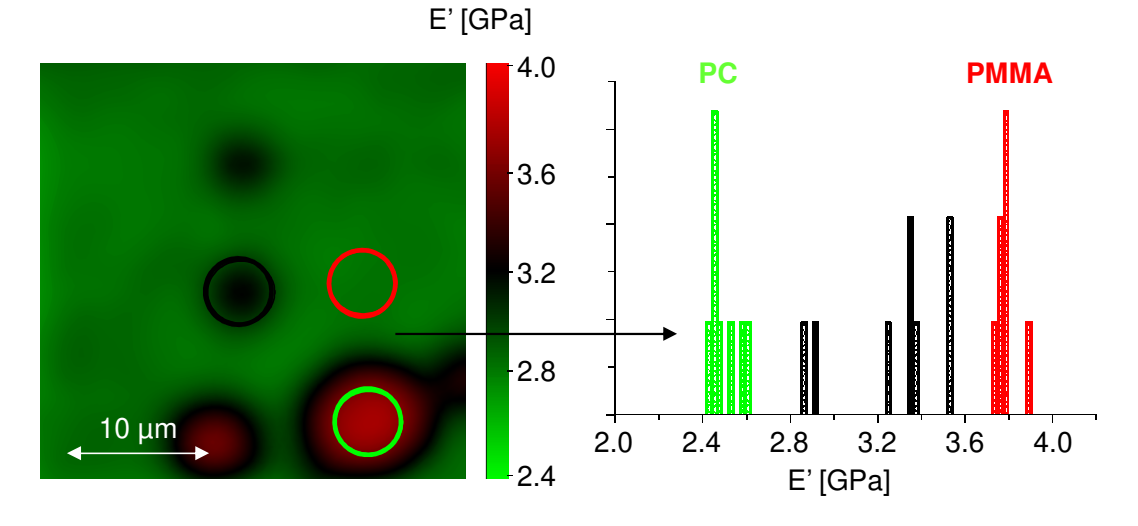




Mapping der mechanischen Eigenschaften

Abbildende Nanoindentation



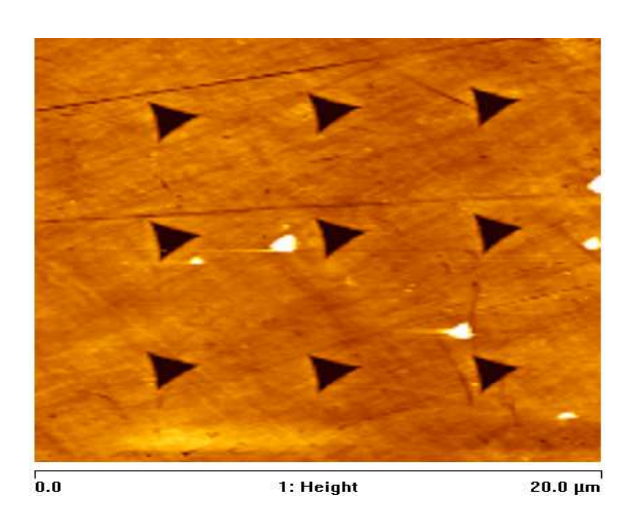


Umfangreiche mechanische Mappings und Eigenschaftsverteilungen auf einer Fläche von bis zu 80 µm²

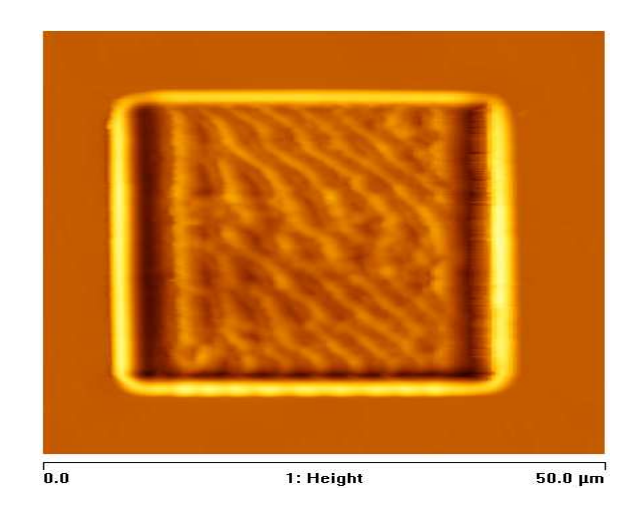
Bestimmung der Elastizität durch die Aufnahme vom bis zu 6 Kraft-Weg-Kurven pro Sekunde



Belastungsarten der Indentation



0.0 1: Height 40.0 µm



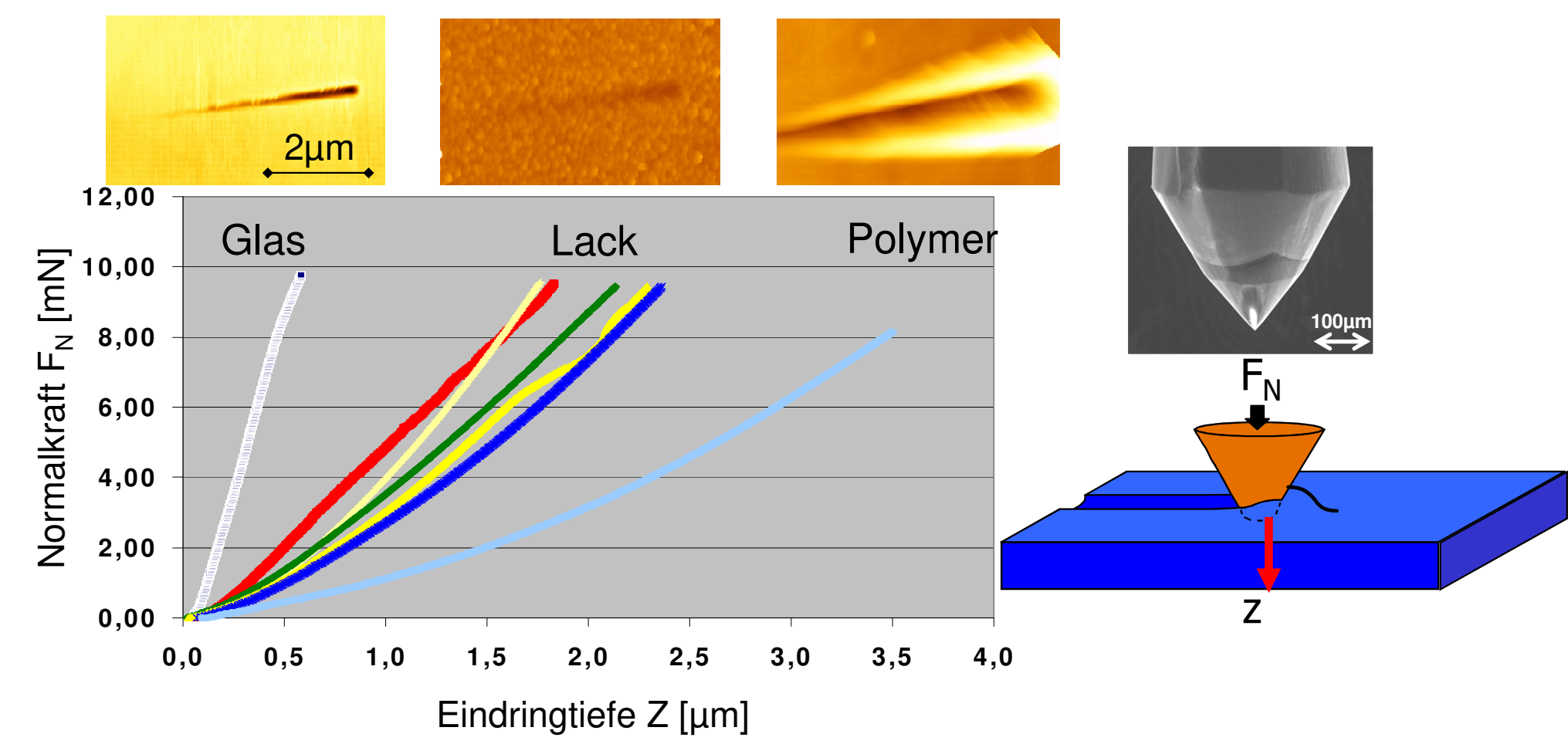
Nanoindentation

Scratch-Test

Wear-Test



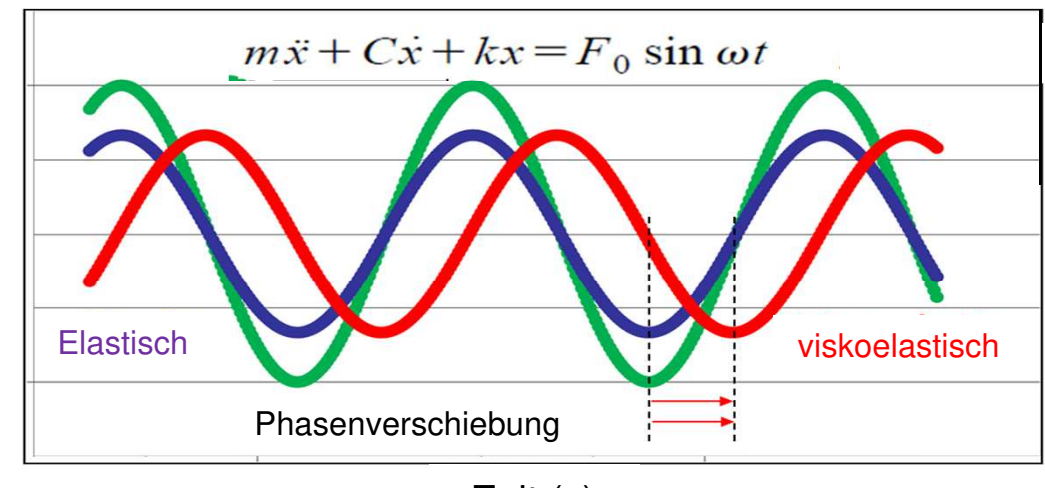
Kraft-Tiefen-Kurven von Materialien



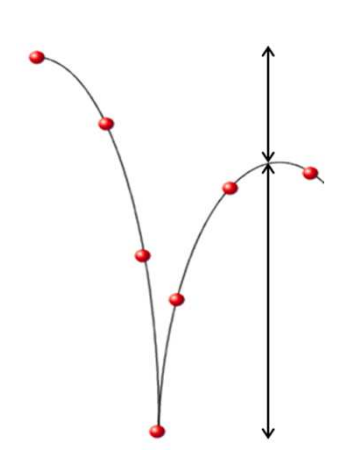


Nano-DMA: Frequenzabhängige mechanische Eigenschaften auf Mikroskopischer Skala





Zeit (s)



Energieverlust

$$E_r'' = \frac{\omega C_s \sqrt{\pi}}{2\sqrt{A_c}}$$

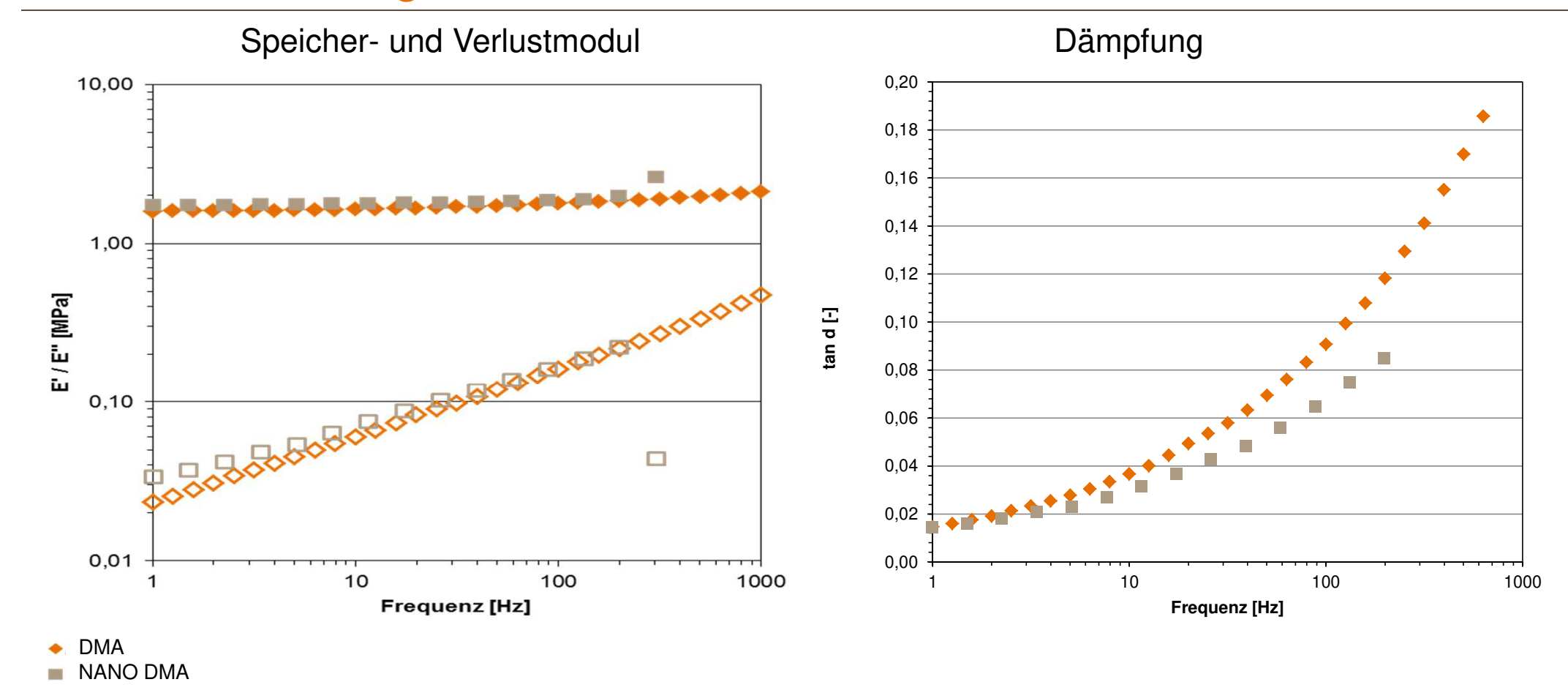
Elastischer Anteil

$$E_r' = \frac{k_s \sqrt{\pi}}{2\sqrt{A_c}}$$

Dämpfung

$$\tan \delta = \frac{E_r''}{E_r'} = \frac{\omega C_s}{k_s}$$

Nano-DMA: Ergebnis für Naturkautschuk



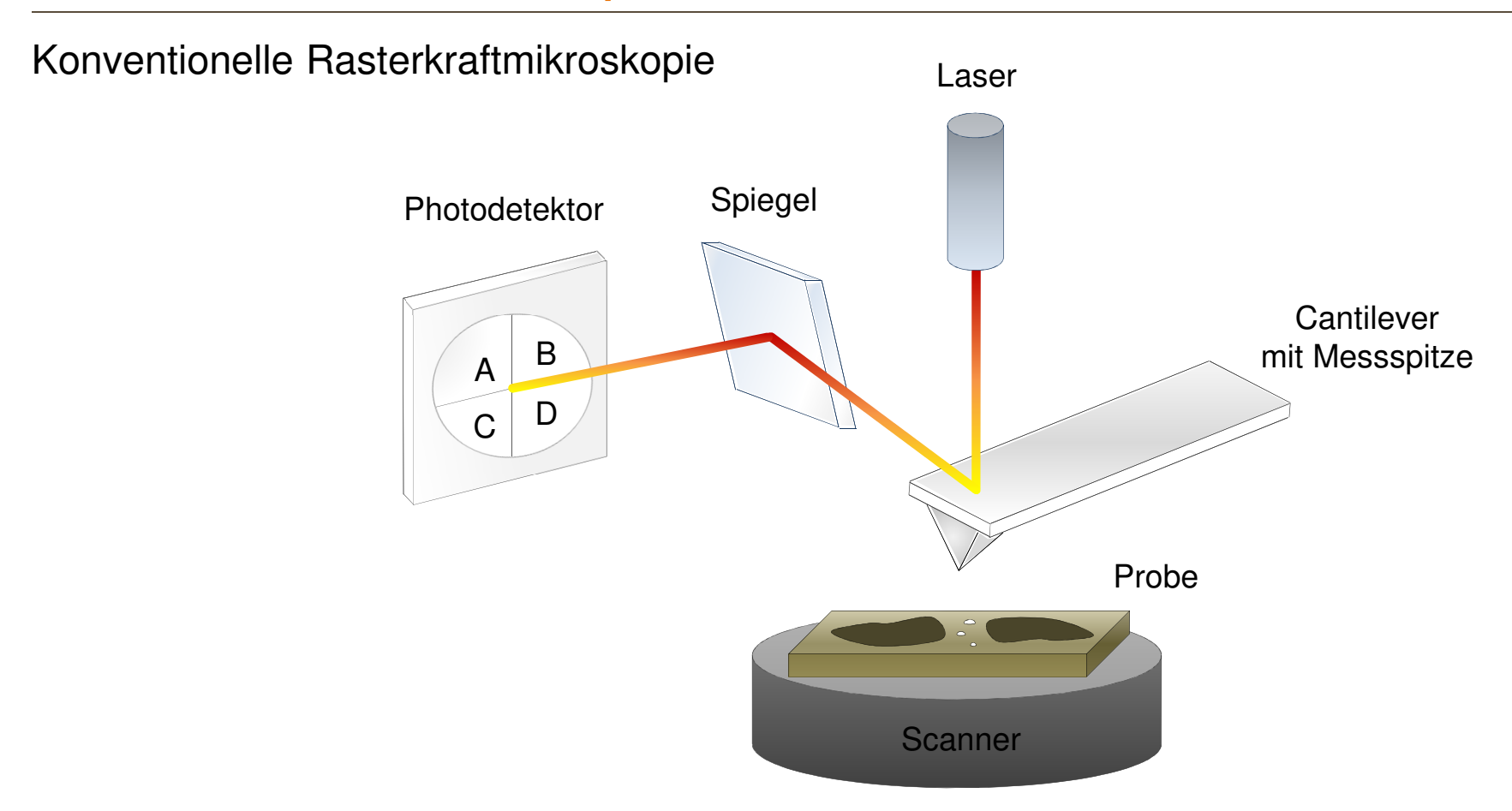


Rasterkraftmikroskopie (AFM)

- Charakterisierung von Polymersystemen
- Konventionelle Rasterkraftmikroskopie
 - Abbildung hochaufgelöster Morphologien
 - Differenzierung von chemisch ähnlichen Polymerverbindungen
- Quantitative Rasterkraftmikroskopie
 - Quantifizierung lokaler mechanischer Eigenschaften
 - Kraftmodulierte Rasterkraftmikroskopie
 - Elastizität, Adhäsion, Dissipation
 - Amplituden- und frequenzmodulierte (AMFM) Rasterkraftmikroskopie
 - Elastizität und Energieverlust
- Korrelation mit mikroskopischen und makroskopischen Erkenntnissen

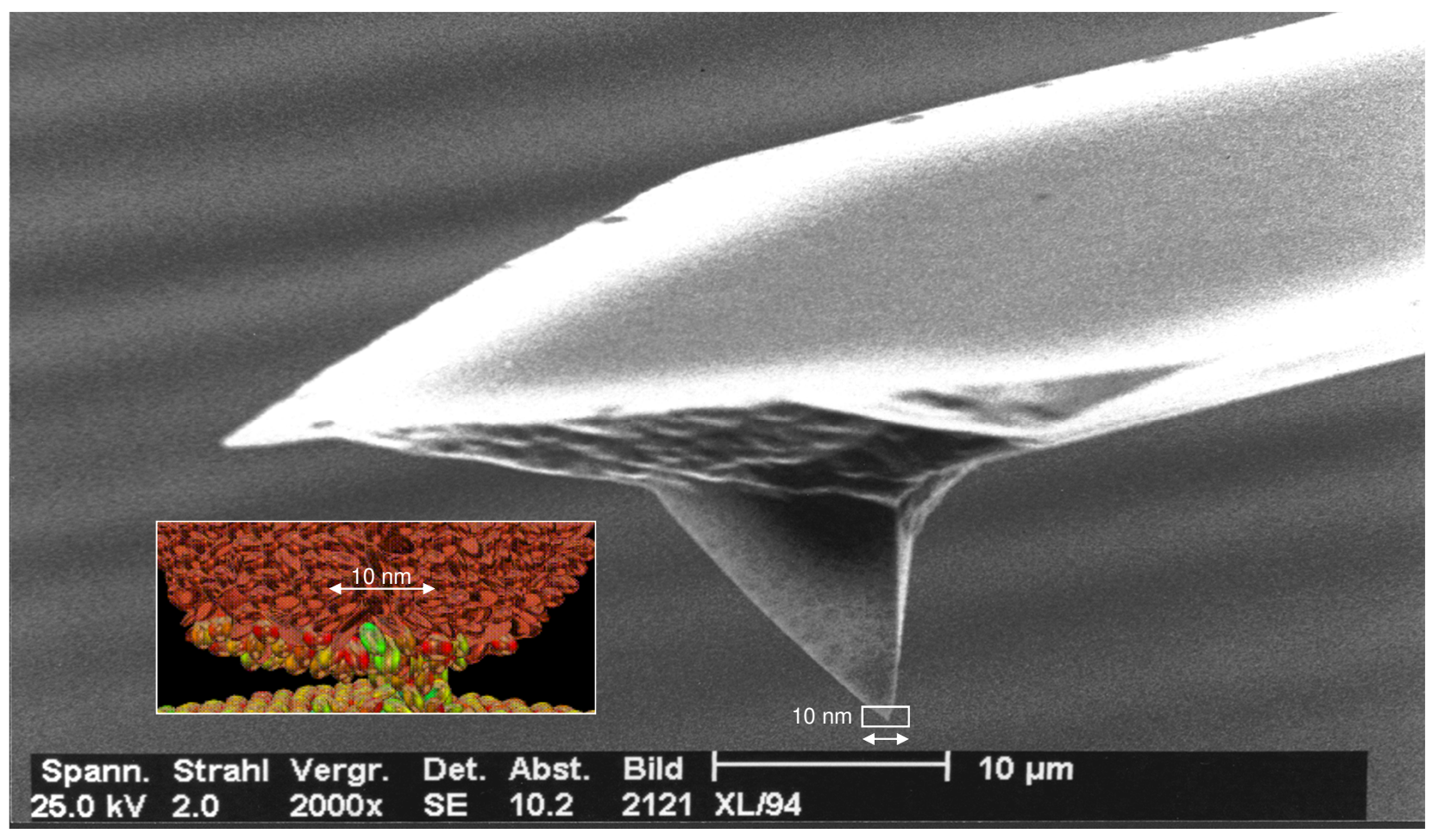


Rasterkraftmikroskopie





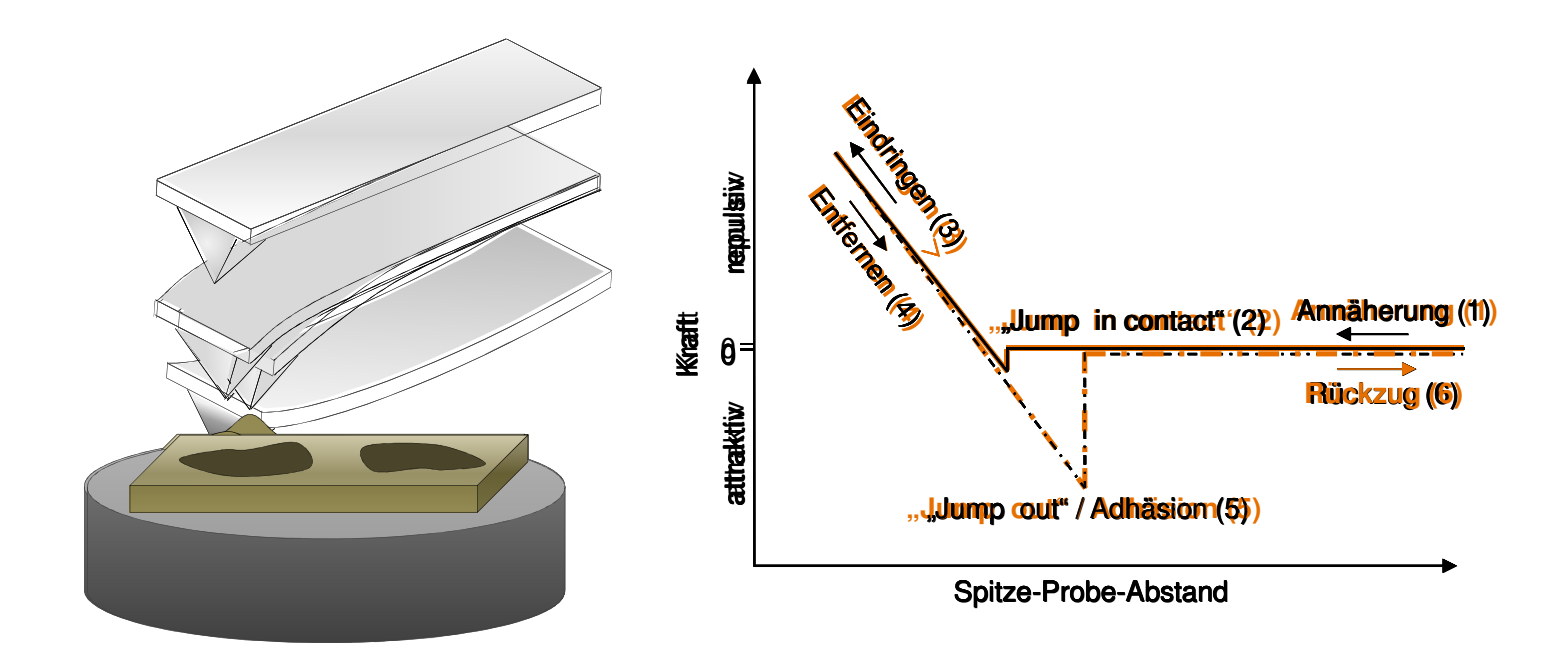
Messspitze am Cantilever





Kraftmodulierte Rasterkraftmikroskopie

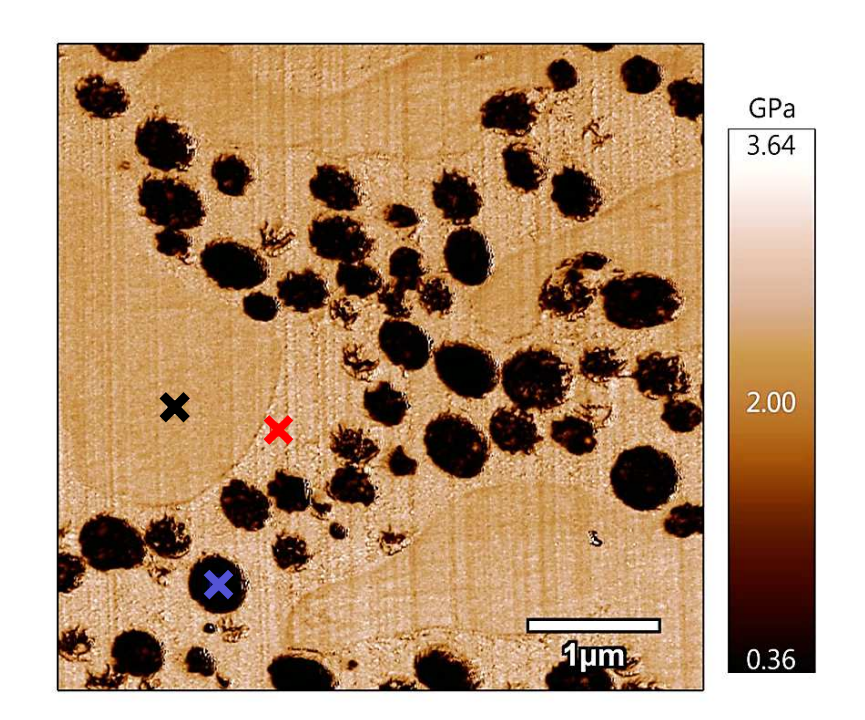
Kraft-Abstands-Kurven

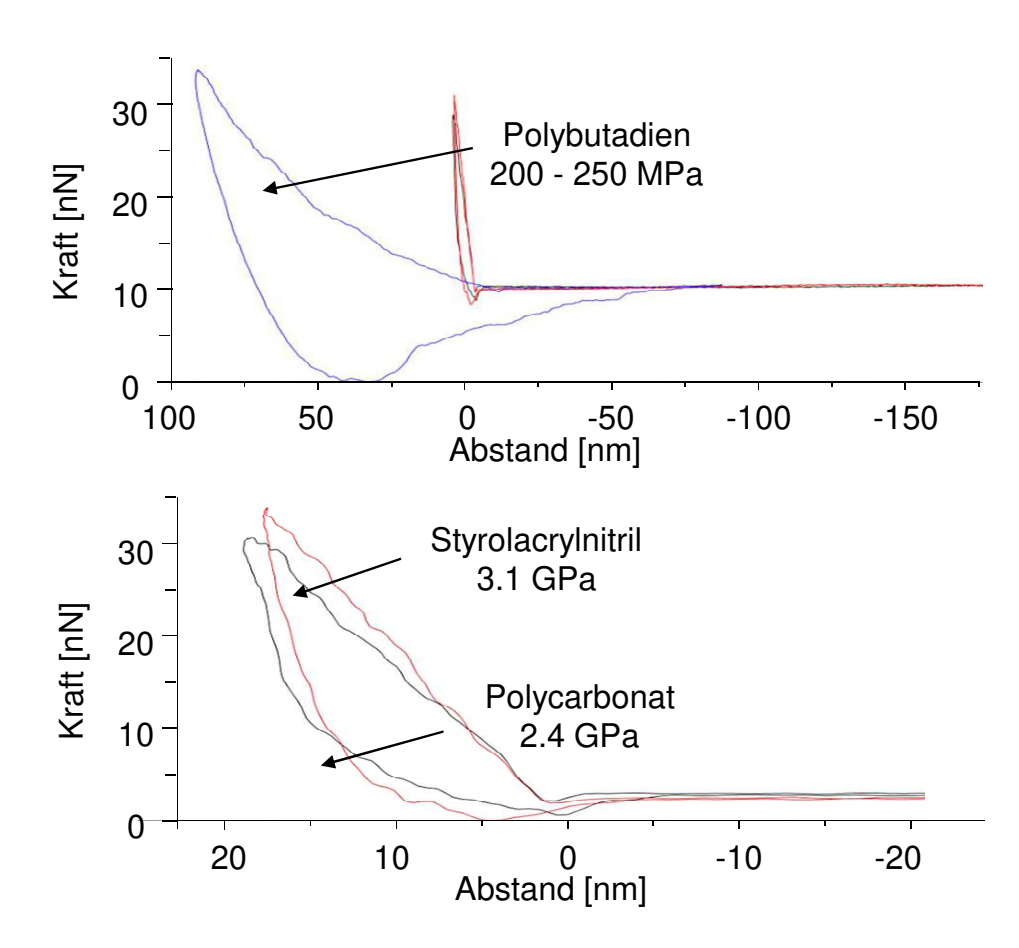




Mapping der mechanischen Eigenschaften

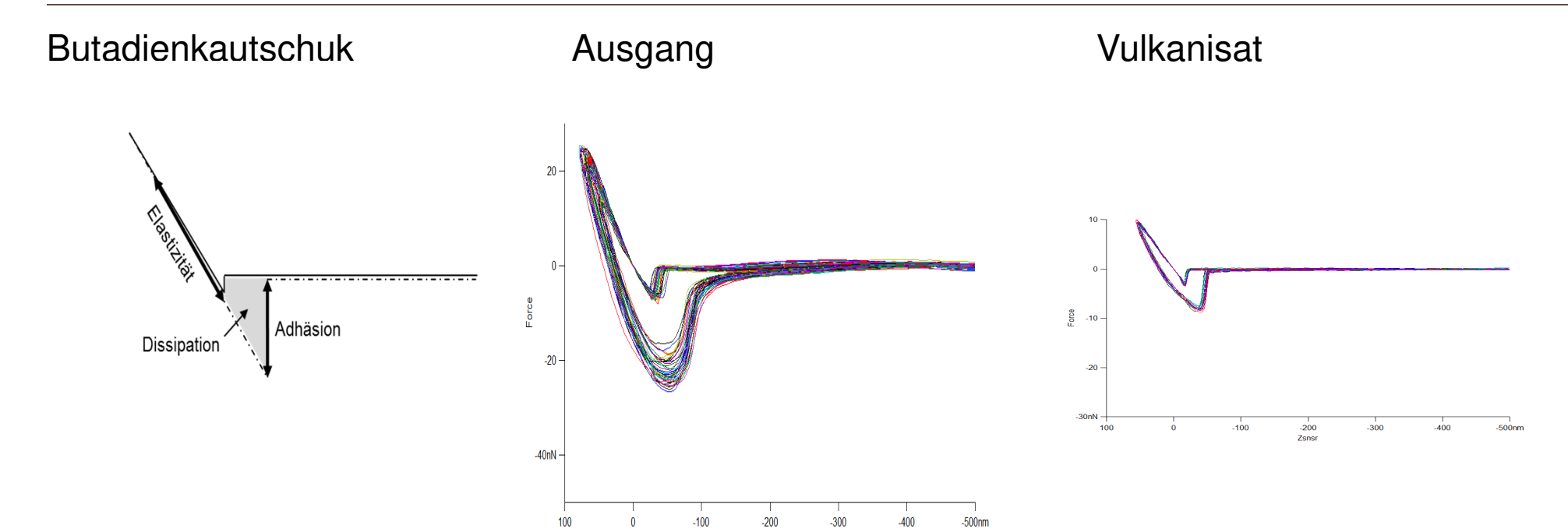
Fast Force Mapping







Detektion der WW Silicium/Kautschuk

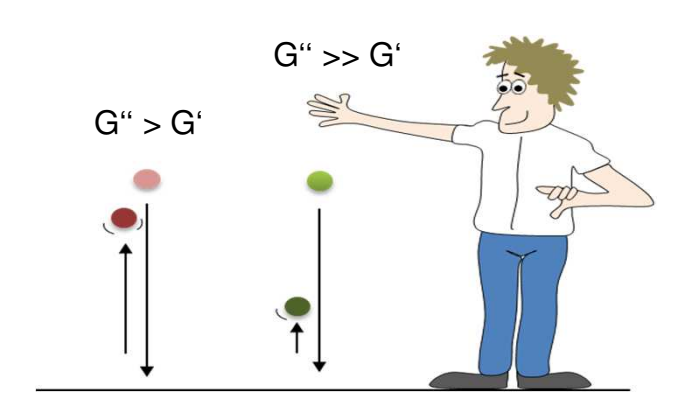


E-Modul [MPa]	9.3	5,8
Adhäsion [nN]	23,6	8,1
Dissipation [fJ]	0,42	0,14



Amplituden und frequenzmodulierte Rasterkraftmikroskopie

Amplitude: Energieverlust (tan δ)



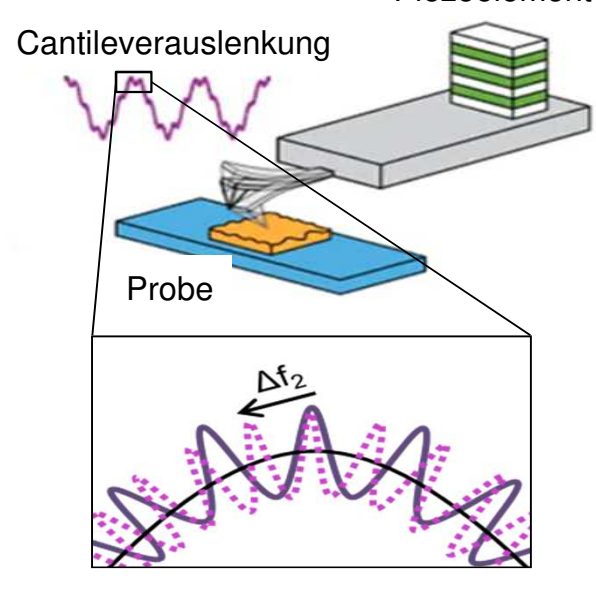
$$\tan \delta = \frac{\text{Verlustmodul G''}}{\text{Speichermodul G'}}$$

$$\tan \delta = \frac{\sin \phi - A / A_0}{\cos \phi}$$

$$f_1 \sim 300 \text{ kHz}$$

Frequenz: Elastizität (E'-Modul)

Piezoelement

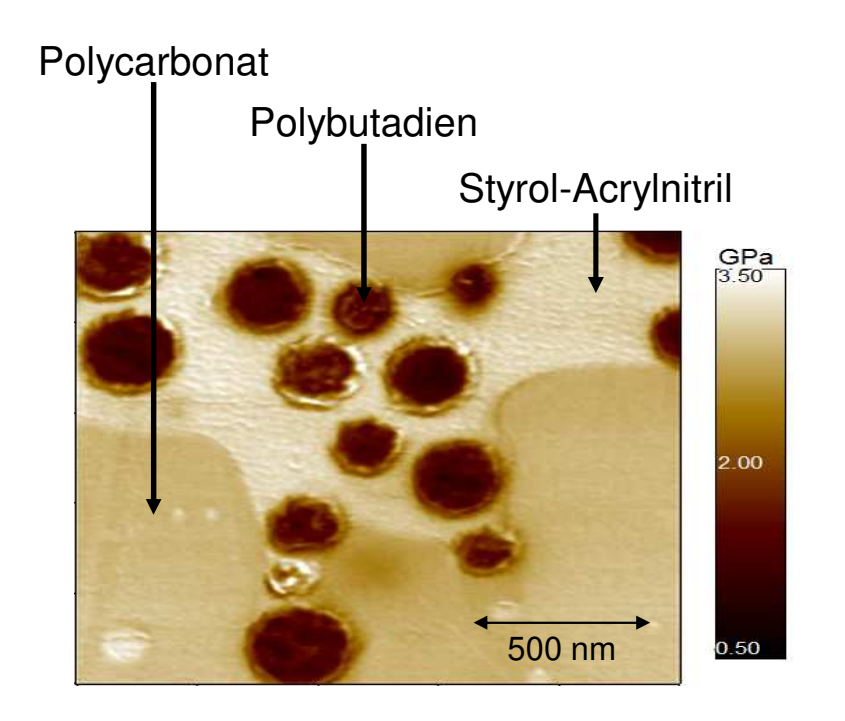


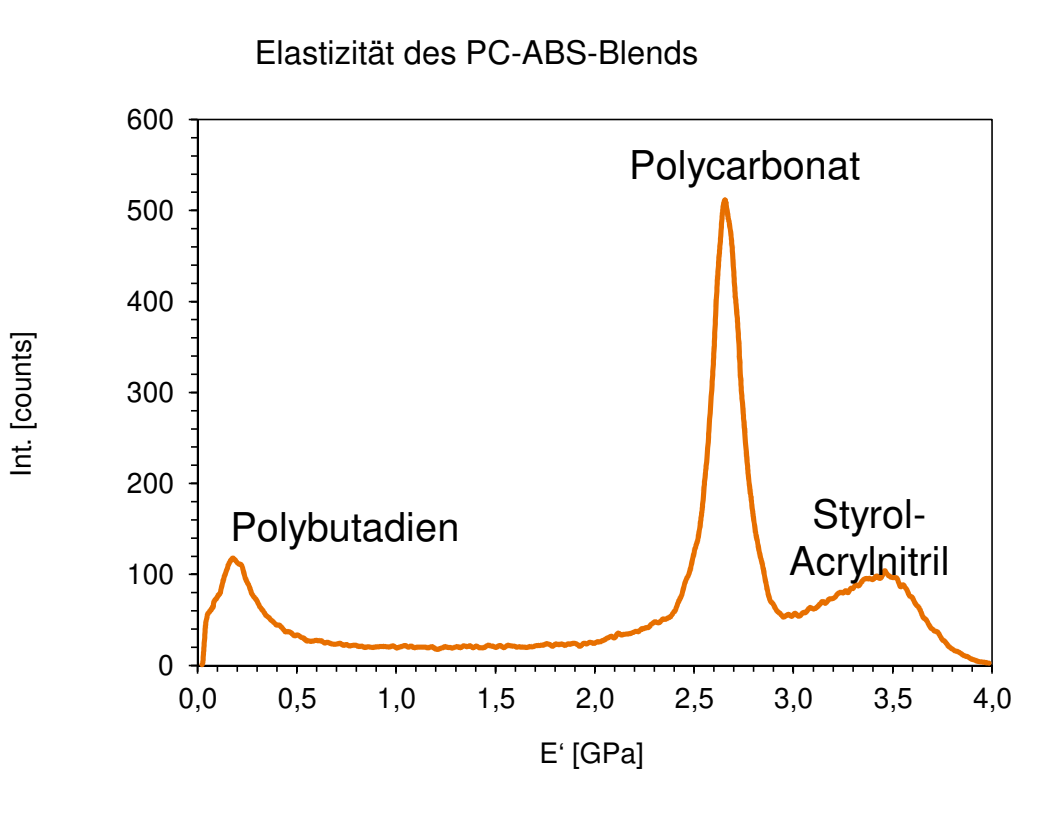
$$E' = \alpha \cdot \Delta f_2^p$$

$$f_2 \sim 1.8 \text{ MHz}$$



Morphologie und Elastizität von PC/ABS-Blends

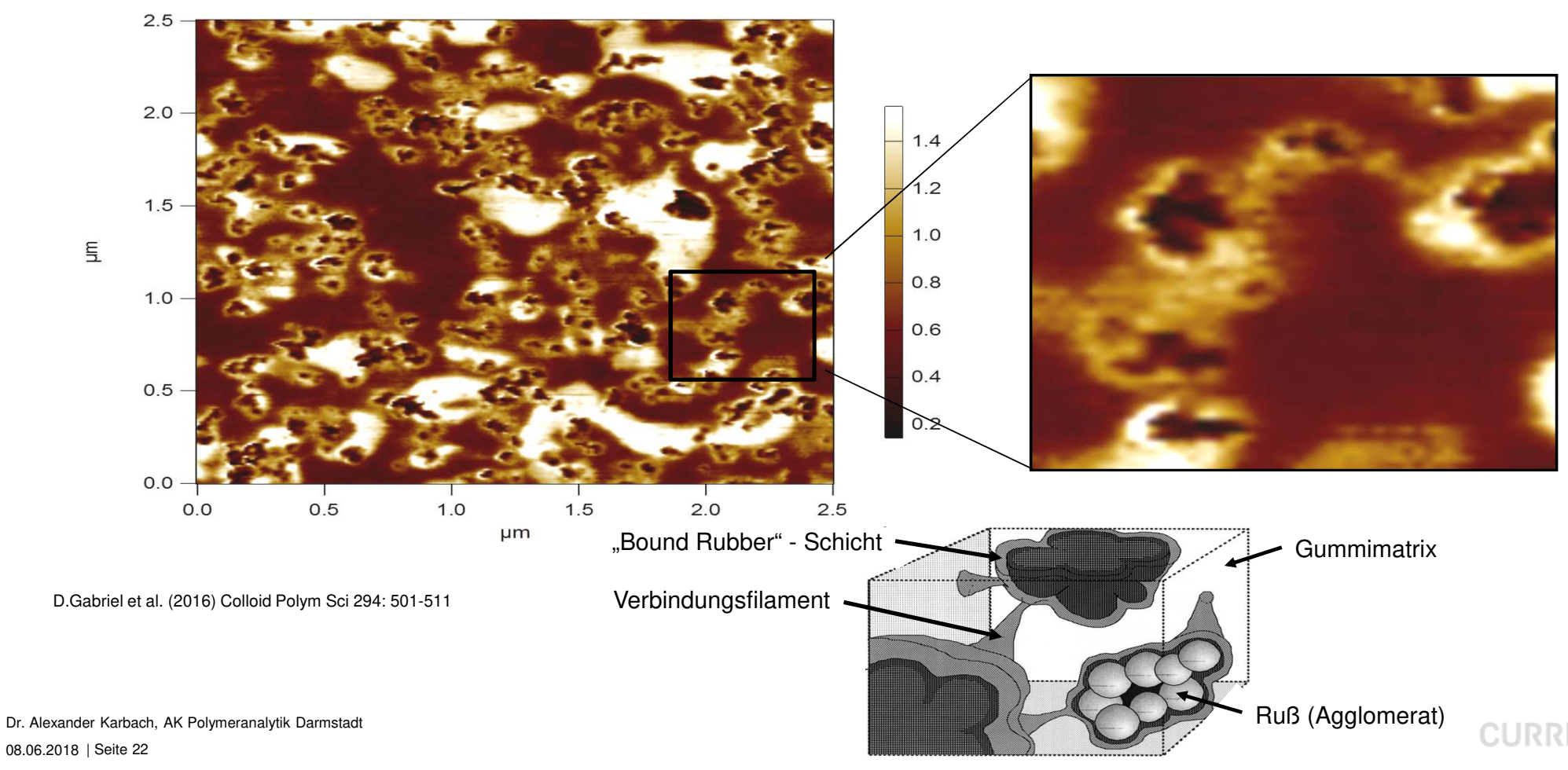






"Bound rubber": Kopplung Gummi - Russ

Energieverlust (tan δ) - Abbildungen



08.06.2018 | Seite 22

Vielen Dank für Ihre Aufmerksamkeit

